

## ЛЕКЦИЯ 8

### 8. КРИВЫЕ ПОВЕРХНОСТИ

#### 8.1. ПОВЕРХНОСТИ ВРАЩЕНИЯ

Поверхности вращения образуются вращением линии  $l$  вокруг прямой  $i$  – оси вращения. Они могут быть линейчатыми и нелинейчатыми (криволинейными). Определитель поверхности вращения включает образующую  $l$  и ось  $i$ . Каждая точка образующей описывает при вращении окружность, плоскость которой перпендикулярна оси вращения. Эти окружности называются параллелями. Наибольшую и наименьшую параллели называют соответственно экватором и горлом. Кривые, образующиеся на поверхности вращения в результате пересечения поверхности плоскостями, проходящими через ось вращения, называют меридианами. Точки на поверхности вращения обычно строят с помощью параллелей  $h$  и образующих  $l$ .

**Цилиндр вращения** образуется вращением прямой  $l$  вокруг параллельной ей оси  $i$  (рис. 8.16, а).

**Конус вращения** образуется вращением прямой  $l$  вокруг пересекающейся с ней оси  $i$  (рис. 8.16, б).

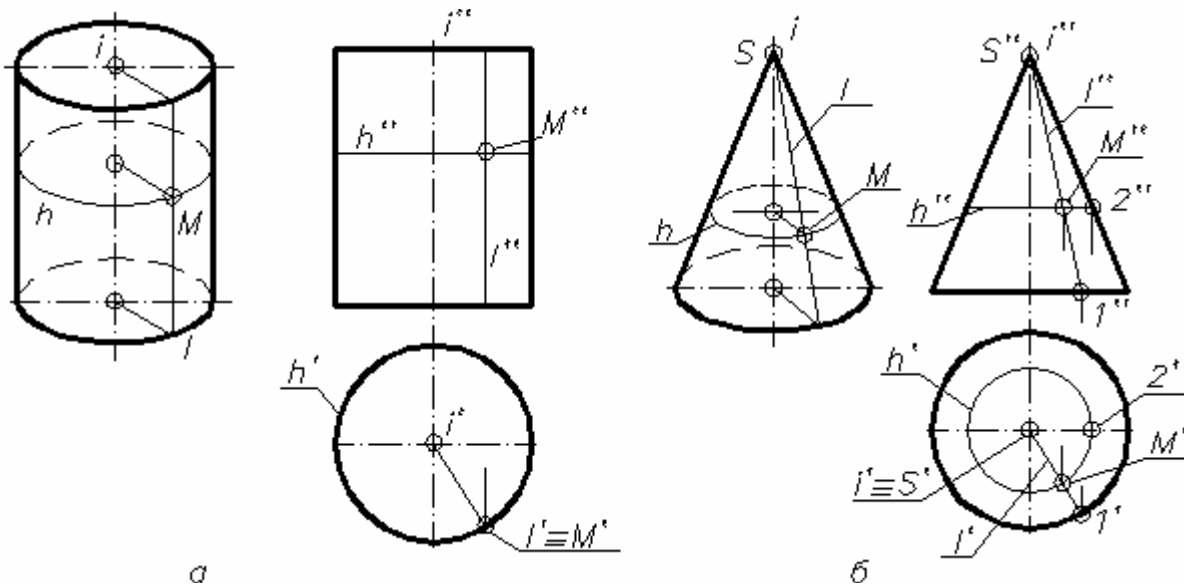


Рис. 8.16

На этом же рисунке показано определение точки  $M$ , принадлежащей поверхности цилиндра (рис. 8.16, а), и конуса (рис. 8.16, б).

Приведенные поверхности вращения относятся к классу **линейчатых**.

К **нелинейчатым** поверхностям, образуемым вращением окружности, относятся тор (закрытый и открытый, рис. 8.18) и сфера (рис. 8.20).

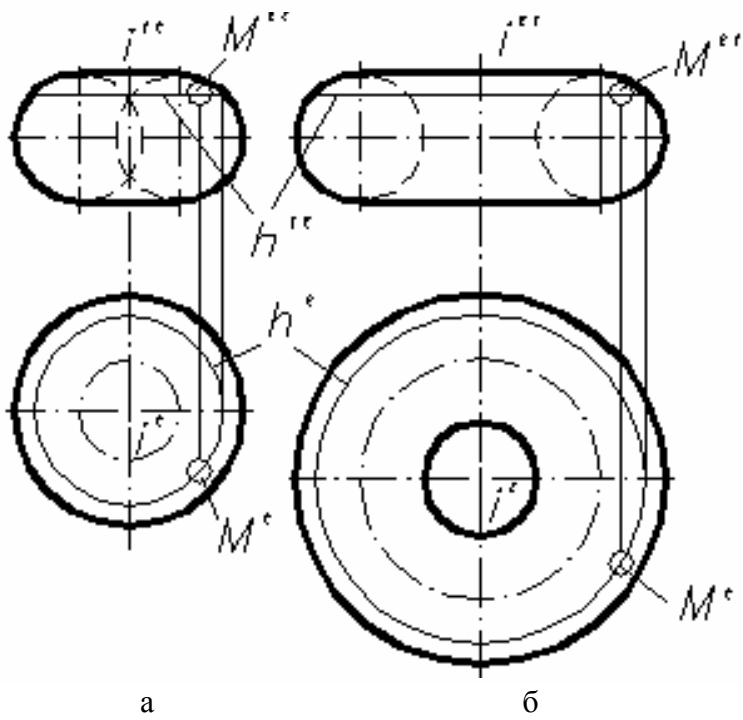


Рис. 8.19

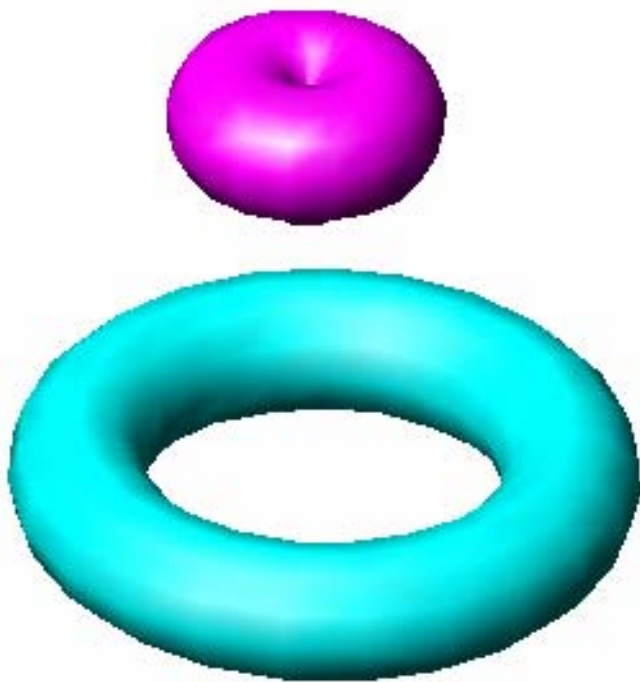


Рис. 8.18

Тор образуется вращением окружности вокруг оси  $i$ , лежащей в плоскости окружности, но не проходящей через ее центр (рис. 8.19 а, б). При этом, если ось  $i$  проходит вне окружности, то тор называется открытым и представляет собой кольцо (рис. 8.18, 8.19, б).

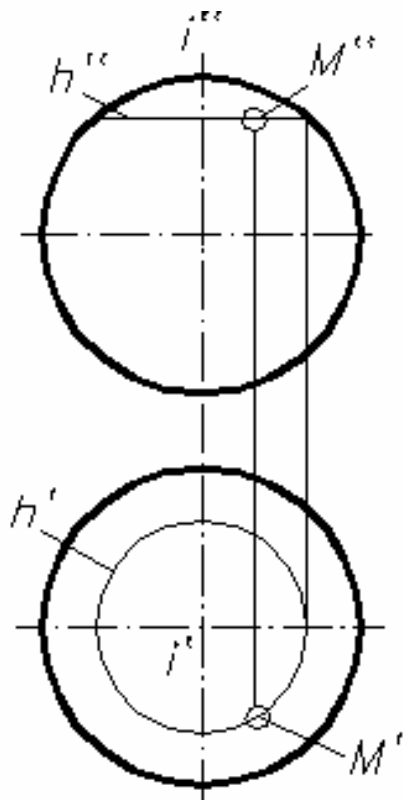


Рис. 8.20

Сфера образуется вращением окружности вокруг ее диаметра (рис. 8.20).

Построение точек на сфере и на торе выполняют с помощью параллелей  $h$ . Если нужно найти точку  $M$ , принадлежащую поверхности тора или сферы, то через заданную проекцию этой точки проводится проекция параллели  $h$ , затем находится вторая проекция этой параллели, после чего на ней с помощью линии связи строится недостающая проекция точки  $M$ .

Сфера представляет собой поверхность второго порядка, а тор – четвертого, что соответствует максимальному числу точек пересечения этих поверхностей с прямой линией.

## 8.2. ПЕРЕСЕЧЕНИЕ ПОВЕРХНОСТЕЙ ВРАЩЕНИЯ С ПЛОСКОСТЬЮ И ПРЯМОЙ.

### 8.2.1. СЕЧЕНИЕ ЦИЛИНДРИЧЕСКОЙ ПОВЕРХНОСТИ ПЛОСКОСТЬЮ

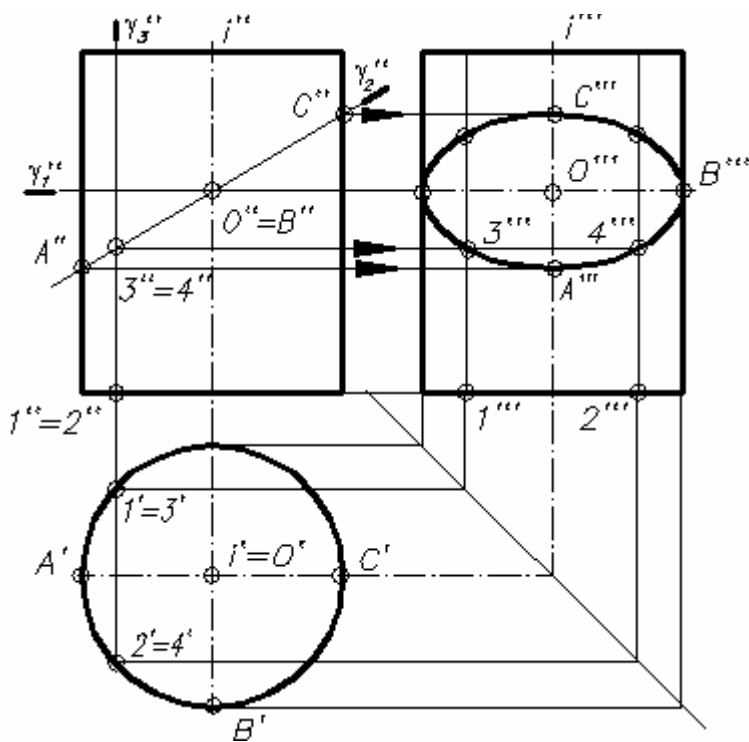


Рис. 8.2

В сечении цилиндрической поверхности вращения плоскостью могут быть получены следующие линии (рис. 8.2):

- **окружность**, если секущая плоскость  $\gamma_1''$  перпендикулярна оси вращения поверхности;
- **эллипс**, если секущая плоскость  $\gamma_2''$  не перпендикулярна и не параллельна оси вращения;
- **две образующие прямые**, если секущая плоскость  $\gamma_3''$  параллельна оси вращения поверхности.

На горизонтальной плоскости проекций окружность и эллипс сечений совпадают с проекцией окружности цилиндра.

При сечении цилиндра плоскостью  $\gamma_2''$  на профильной проекции получится эллипс. Его построение начинают с определения положения опорных точек  $C'''$  и  $A'''$ , которые находятся с помощью линий связи, проведенных из фронтальных проекций  $C''$  и  $A''$ .

К опорным относятся экстремальные точки (высшая и низшая, ближняя и дальняя и т.д.) и точки видимости (проекции этих точек лежат на контурной линии поверхности). Точки видимости разделяют линию пересечения на видимую и невидимую части.

На рис. 8.2. малая ось эллипса равна  $A'''C'''$ , а большая – диаметру цилиндра. Положение промежуточных точек 3 и 4 можно определить введением вспомогательной секущей плоскости, дающей при пересечении с заданной поверхностью геометрически простые линии. В данном случае в качестве плоскости-посредника удобно выбрать фронтально-проецирующую плоскость  $\gamma_1''$ . При сечении цилиндра этой плоскостью на его профильной проекции получим две образующие, положение которых относительно оси определится горизонтальными проекциями  $1'$  и  $2'$  точек 1 и 2, лежащих на основании цилиндра. Пересечение образующих с линией связи, проведенной из точки  $3'' \equiv 4''$  на фронтальной проекции, даст промежуточные точки  $3'''$  и  $4'''$  на профильной проекции. Повторяя подобную операцию, определим необходимое количество промежуточных точек для построения эллипса. В заключение соединим все точки плавной кривой.

### 8.2.2. ПЕРЕСЕЧЕНИЕ ЦИЛИНДРА НЕСКОЛЬКИМИ ПЛОСКОСТЯМИ

Рассмотрим построение линий пересечения прямого кругового цилиндра, в верхней части которого выполнен ступенчатый вырез, а в нижней – призматический сквозной вырез (рис. 8.2.1).

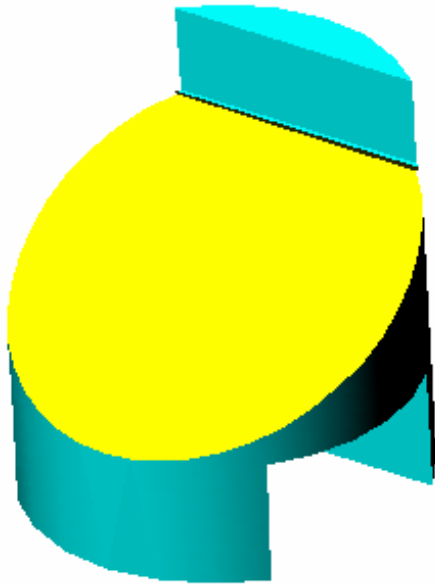


Рис. 8.2.1

Верхний ступенчатый вырез образован двумя плоскостями – фронтально-проецирующей  $\beta$  и профильной  $\alpha$  (см. рис. 8.2.2). Плоскость  $\alpha$  пересекает верхнее основание цилиндра по линии 1 – 2, которая проецируется в натуральную величину на видах сверху и слева. Взаимным пересечением плоскостей  $\alpha$  и  $\beta$  получают фронтально-проецирующую прямую, которая пересекает боковую цилиндрическую поверхность в точках 6 и 7. Следовательно, четырехугольник, образованный сечением цилиндра плоскостью  $\alpha$ , представляет собой прямоугольник 1 – 2 – 7 – 6, проецирующийся в натуральную величину на виде слева.

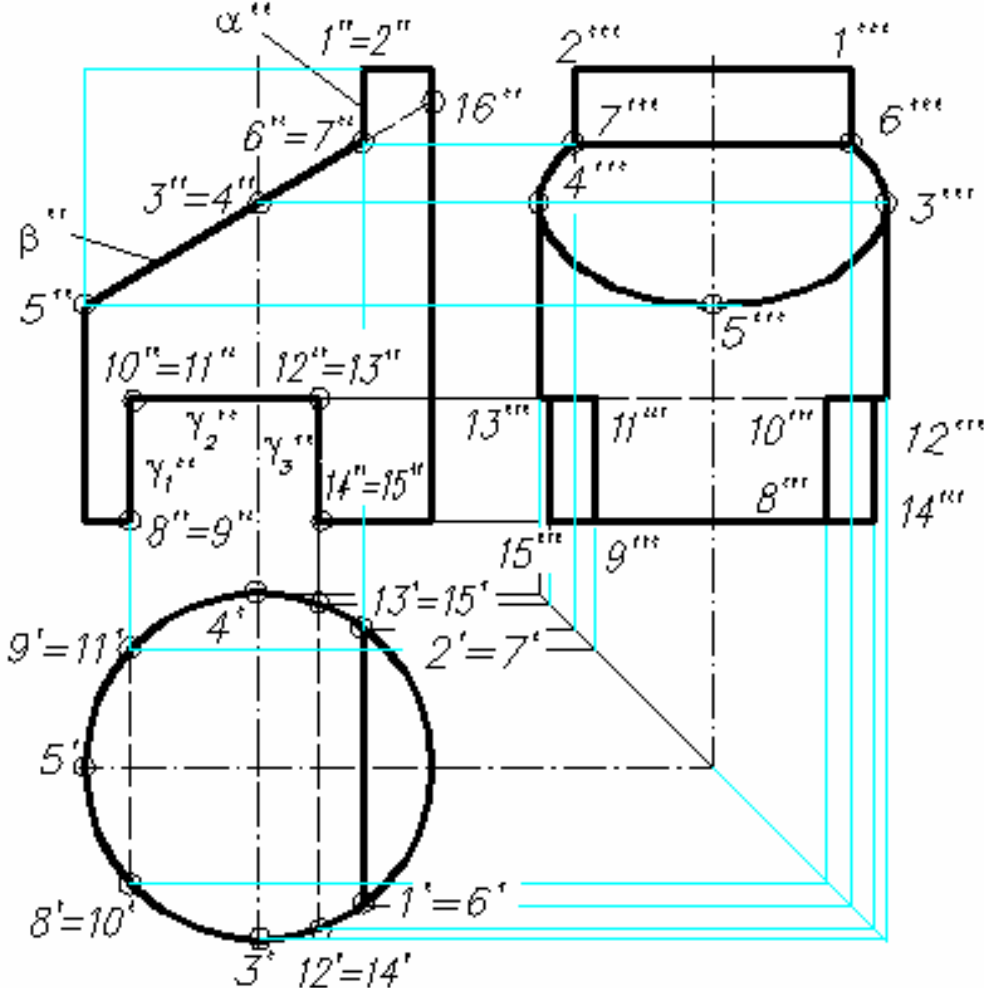


Рис. 8.2.2

Плоскость  $\beta$ , наклоненная к оси цилиндра, пересекает его поверхность по эллипсу, большой осью которого является отрезок  $5'' - 16''$ , а величина малой оси равна диаметру цилиндра. В нашем случае эллипс будет неполным, так как справа ограничен линией  $7 - 6$ . На виде сверху проекция эллипса совпадает с контуром цилиндрической поверхности, а на виде слева эллипс проецируется с искаженной величиной оси  $5 - 16$ .

Нижний призматический вырез образован двумя профильными плоскостями  $\gamma_1$  и  $\gamma_3$  и горизонтальной плоскостью уровня  $\gamma_2$ . Плоскость  $\gamma_1$  пересекает поверхность цилиндра по четырехугольнику  $8 - 9 - 11 - 10$ , а плоскость  $\gamma_3$  – по четырехугольнику  $12 - 13 - 15 - 14$ . Линии  $8 - 9$  и  $14 - 15$  образованы пересечением указанных плоскостей с нижним основанием цилиндра, а линии  $10 - 11$  и  $12 - 13$  – взаимным пересечением плоскостей  $\gamma_1$  и  $\gamma_3$  с плоскостью  $\gamma_2$ .

Плоскость  $\gamma_2$  дает в пересечении с цилиндром часть круга, ограниченную хордами  $10 - 11$  и  $12 - 13$ .

Построение вида слева выполнено с помощью линий связи. Для более точного построения эллипса необходимо воспользоваться вспомогательными секущими плоскостями.

### 8.2.3. СЕЧЕНИЕ КОНИЧЕСКОЙ ПОВЕРХНОСТИ ПЛОСКОСТЬЮ

В сечении конической поверхности вращения плоскостью могут быть получены следующие линии:

- окружность, если секущая плоскость  $\alpha$  перпендикулярна оси вращения (рис. 8.3, а);
- эллипс, если секущая плоскость  $\alpha$  пересекает все образующие поверхности (рис. 8.3, б);
- парабола, если секущая плоскость  $\alpha$  параллельна одной из образующих (рис. 8.3, в);

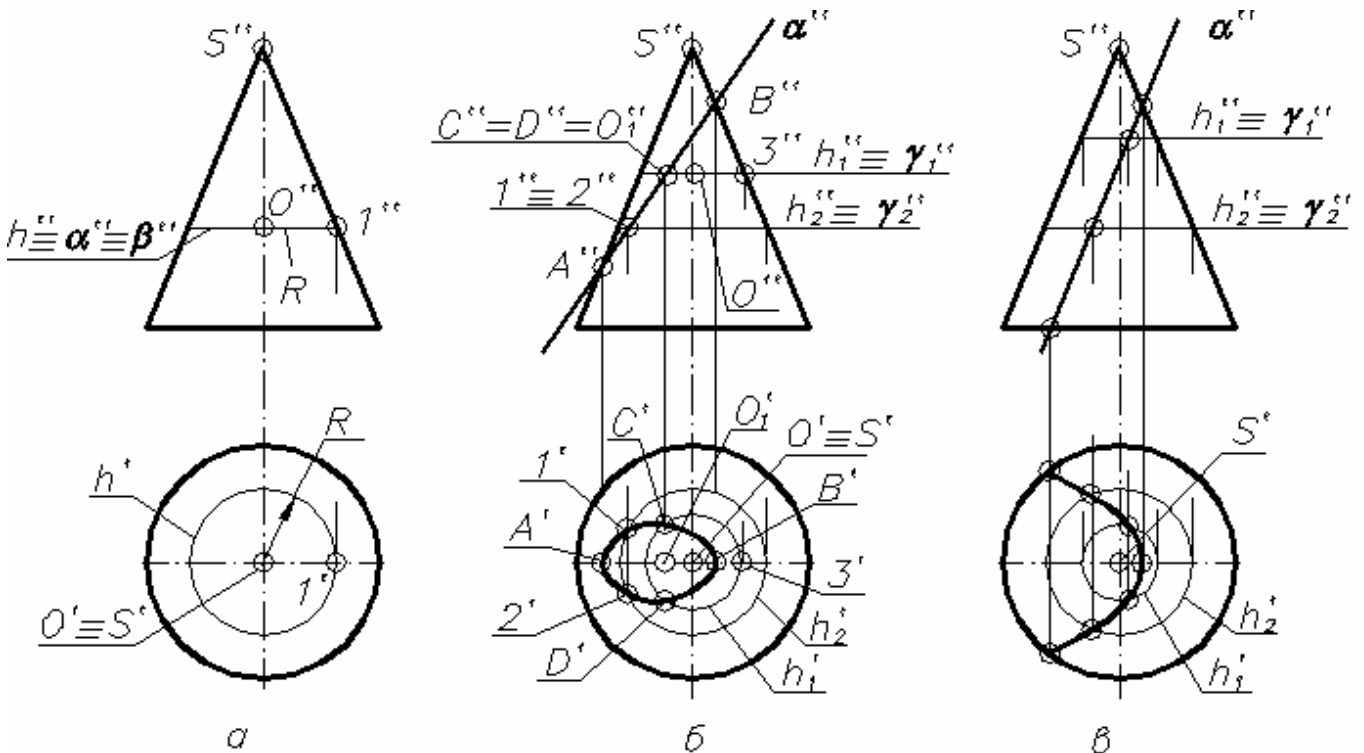


Рис. 8.3

- гипербола, если секущая плоскость  $\alpha$  параллельна двум образующим поверхности (рис. 8.4, а); фронтальные проекции этих образующих совпадают с осью вращения;
- две образующие прямые, если секущая плоскость  $\alpha$  проходит через вершину  $S$  конуса (рис. 8.4, б).

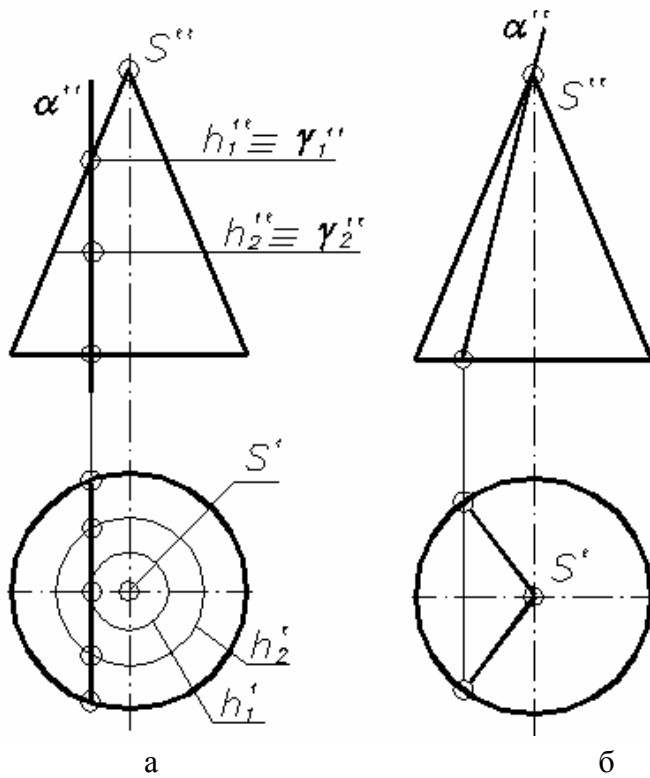


Рис. 8.4

Проекция кривых линий сечений конуса плоскостью целесообразно строить с использованием плоскостей посредников, перпендикулярных его оси. Линия пересечения при этом будет окружностью радиуса  $R$  (см. рис. 8.3, а).

Рассмотрим построение линии пересечения на примере, приведенном на рис. 8.3, б. Построение начинают с опорных точек. В рассматриваемом примере опорными будут точки  $A, B, C$  и  $D$ . Положение точек  $A$  и  $B$ , ограничивающих большую ось эллипса, очевидно. Точка  $O$ , которая служит центром эллипса, делит отрезок  $AB$  пополам. Точки  $C$  и  $D$  – фронтально конкурирующие и ограничивают малую ось эллипса. Положение этих точек можно определить, вводя вспомогательную фронтально проецирующую плоскость  $\gamma$ , проходящую через фронтальную проекцию  $O''$  центра эллипса  $O$ . Горизонтальная проекция  $h'$  линии пересечения вспомогательной плоскости с поверхностью конуса – окружность. Горизонтальная проекция линии пересечения секущей плоскости  $\alpha$  и вспомогательной плоскости  $\gamma$  – фронтально проецирующая прямая, совпадающая с линией связи  $O'O''$ . Все точки, лежащие на этой линии, принадлежат секущей плоскости  $\alpha$ . Таким образом, точки пересечения линии связи  $O'O''$  и  $h'$  принадлежат одновременно поверхности конуса и секущей плоскости  $\alpha$ , т.е. являются точками, лежащими на линии их пересечения.

Аналогично строят промежуточные точки пересечения, например точки 1 и 2. Проводят вспомогательную плоскость  $\gamma$  и определяют вырожденную в точку фронтальную проекцию линии пересечения этой плоскости и секущей плоскости  $\alpha$ . Из этой точки проводят линию связи до пересечения в точках  $1'$  и  $2'$  с окружностью  $h'1$ . Такие построения повторяют необходимое число раз, после чего полученные точки соединяют плавной кривой. В рассматриваемом примере сечение будет иметь форму эллипса. Натуральный вид эллиптического сечения можно построить при помощи его осей  $AB = A''B''$ ,  $CD = C'D'$ .

Подобным образом строят конические сечения, приведенные на рис. 8.3, в (парабола) и рис. 8.4, а (гипербола).

### 8.3. ПЕРЕСЕЧЕНИЕ ПРЯМОЙ С ПОВЕРХНОСТЬЮ

Чтобы определить точки пересечения прямой с поверхностью, необходимо выполнить следующие операции:

- через данную прямую провести вспомогательную секущую плоскость;
- построить линию сечения вспомогательной плоскости с заданной поверхностью;
- отметить точки пересечения построенной линии с заданной прямой. Полученные точки будут искомыми.

#### 8.3.1. ПЕРЕСЕЧЕНИЕ ЦИЛИНДРА С ПРЯМОЙ

На рис. 8.8 приведена прямая круговая цилиндрическая поверхность, которая пересекается прямой  $m$ .

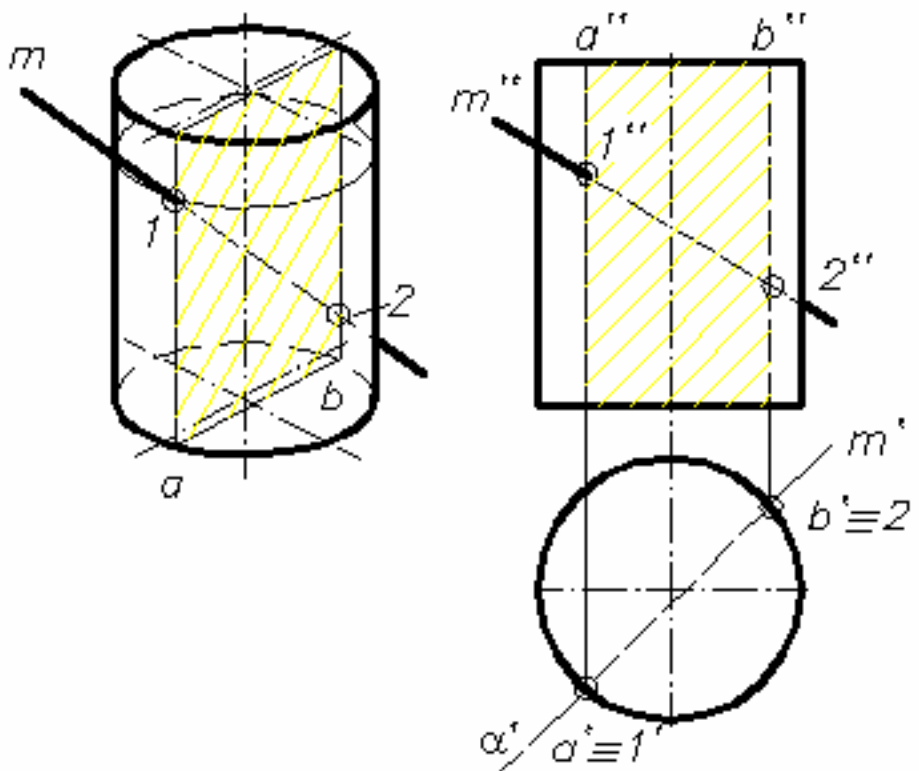


Рис. 8.8

Для того, чтобы найти точки пересечения, заключаем прямую в горизонтально-проецирующую плоскость  $\alpha$ , которая пересечет поверхность цилиндра по двум образующим –  $a$  и  $b$ . Затем проводим из точек  $a'$  и  $b'$  линии связи на фронтальную плоскость проекций и на пересечении фронтальных проекций образующих  $a''$  и  $b''$  с фронтальной проекцией прямой  $m''$  отмечаем фронтальные проекции точек  $1''$  и  $2''$ . В заключении определяем видимость прямой  $m$ .

#### 8.3.2. ПЕРЕСЕЧЕНИЕ КОНУСА И ПРЯМОЙ

Построить точки пересечения прямой  $n$  с поверхностью прямого кругового конуса (рис. 8.9).



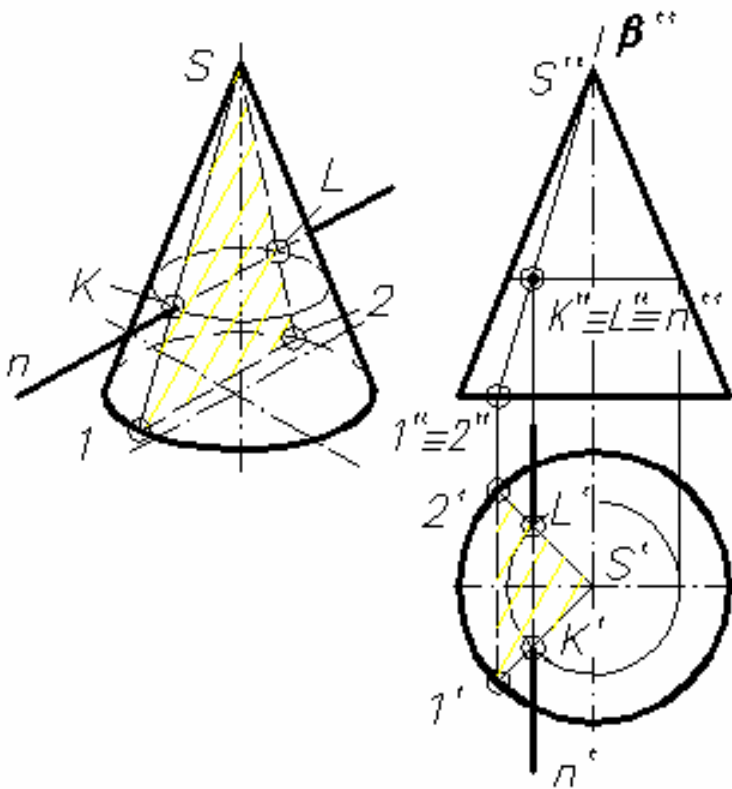


Рис. 8.9

Прямая  $n$  перпендикулярна фронтальной плоскости проекций, поэтому фронтальная проекция точек пересечения будет совпадать с фронтальной проекцией прямой  $n''$ . Проведем на фронтальной плоскости проекций секущую плоскость  $\beta$ , проходящую через данную прямую и вершину конуса  $S$ . В этом случае конус будет пересекаться плоскостью по прямым образующим  $S-1$  и  $S-2$ .

В сечении получается треугольник, одна вершина которого совпадает с вершиной конуса  $S$ , а две другие располагаются на его основании.

С помощью линии связи находим горизонтальные проекции точек  $1'$  и  $2'$  на пересечении образующих с основанием конуса. Полученный треугольник  $S-1-2$  и прямая  $n$  лежат в одной секущей плоскости –  $\beta$ . Отмечаем горизонтальные проекции точек пересечения  $K'$  и  $L'$  образующих  $S'-1'$  и  $S'-2'$  с проекцией прямой  $n'$  и определяем видимость этой прямой.

### 8.3.3. ПЕРЕСЕЧЕНИЕ СФЕРЫ И ПРЯМОЙ

Определим точки пересечения прямой с поверхностью сферы (рис. 8. 10).

Прямая  $l$  расположена параллельно фронтальной плоскости проекций, поэтому выбираем в качестве секущей плоскости вспомогательную плоскость  $\alpha$ , проходящую через прямую  $l$  и параллельную фронтальной плоскости проекций. Эта плоскость пересекает сферу по окружности радиуса  $R$ , которая на фронтальной плоскости проекций изобразится, без искажений.

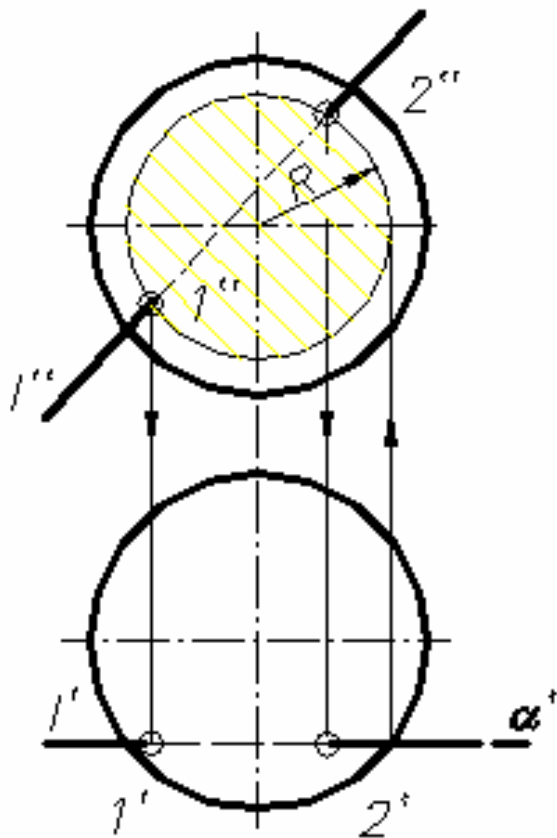


Рис. 8.10

На пересечении этой окружности и проекции прямой  $l''$  отмечаем точки  $1''$  и  $2''$ , которые являются точками пересечения прямой  $l$  со сферой. Затем проецируем полученные точки на горизонтальную проекцию прямой  $l'$  и определяем видимость этой прямой на обеих проекциях.

## 8.4. РАЗВЕРТКА ПОВЕРХНОСТЕЙ ВРАЩЕНИЯ

### 8.4.1. РАЗВЕРТКА ЦИЛИНДРИЧЕСКОЙ ПОВЕРХНОСТИ

Для получения приближенной развертки цилиндрической поверхности последнюю заменяют вписанной в нее поверхностью призмы. Развертывание полученной призматической поверхности может быть выполнено, например, способом нормального сечения. При достаточно большом числе граней и малых размерах ребер оснований погрешность, получаемая при замене цилиндрической поверхности призматической поверхностью, не имеет практического значения.

На рис. 8.11, а приведена цилиндрическая поверхность (далее для краткости будем называть просто цилиндр), усеченная с двух сторон наклонными плоскостями. Ось поверхности перпендикулярна фронтальной плоскости проекций.

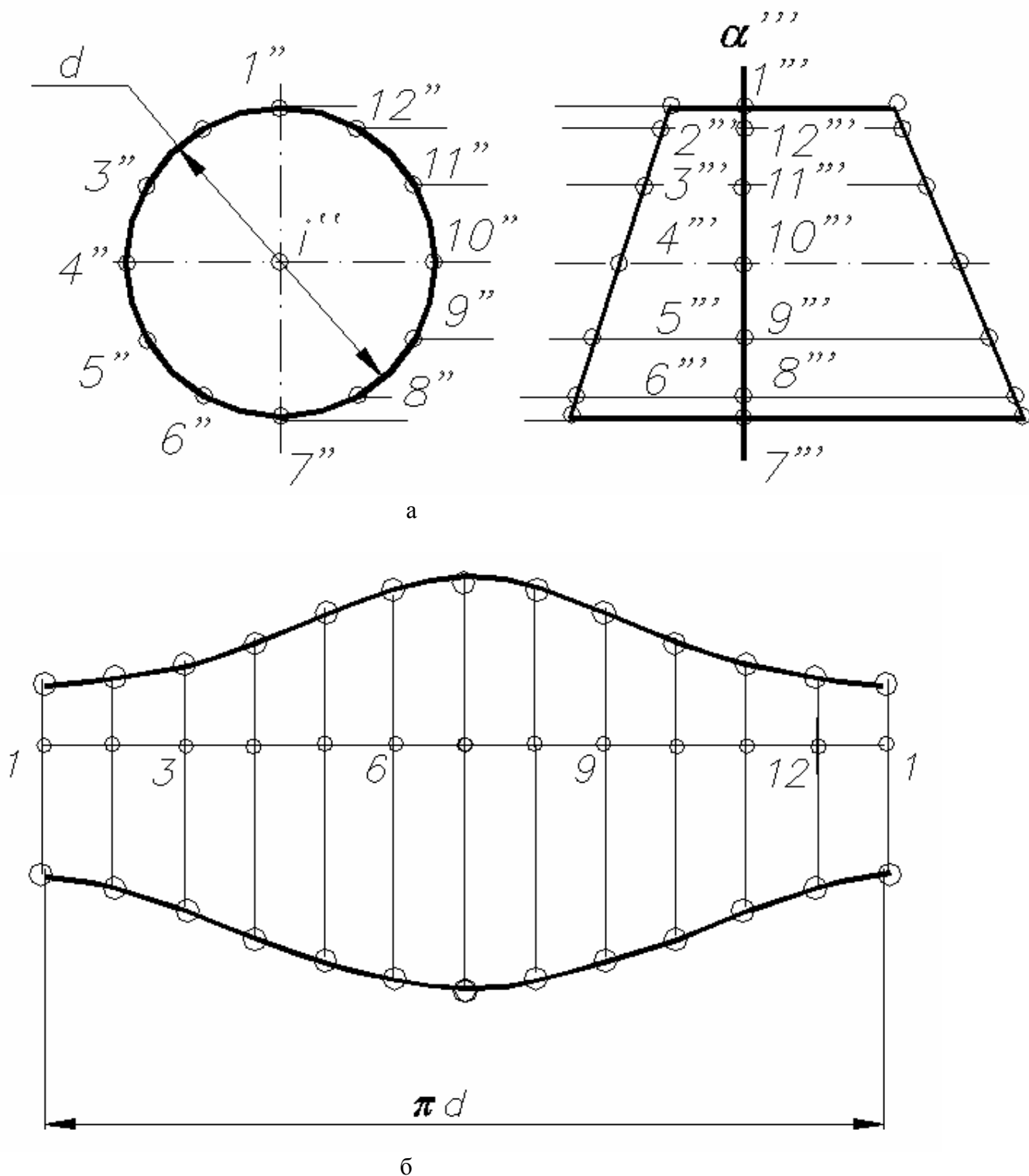


Рис. 8.11

Пересечем поверхность цилиндра вспомогательной плоскостью  $\gamma$ , перпендикулярной к оси цилиндра, и построим натуральный вид сечения поверхности цилиндра плоскостью  $\gamma$ , совместив плоскость сечения с фронтальной проекцией цилиндра (рис. 8.11, а). Разделим окружность сечения на двенадцать равных частей и, отметив полученные точки деления на профильной проекции ( $1''$ ,  $2''$ ,  $3''$ , ...,  $12''$ ), проведем через них проекции образующих цилиндра. Эти образующие примем за ребра призмы, вписанной в цилиндр, и при построении развертки заменим (приблизительно) боковую поверхность цилиндра боковой поверхностью полученной призмы. Для этого построим (рис. 8.11, б) развернутый периметр 1-2-3 ... 12-1 многоугольника, образовавшегося в сечении поверхности призмы плоскостью  $\gamma$ , и вычертим относительно этой линии натуральную величину каждого ребра призмы; концы этих ребер соединим плавными кривыми линиями.

## 8.4.2. РАЗВЕРТКА КОНИЧЕСКОЙ ПОВЕРХНОСТИ

Приближенная развертка конической поверхности может быть получена, если заменить эту поверхность вписанной в нее поверхностью пирамиды (с достаточно большим числом боковых граней) и принять развертку поверхности пирамиды за искомую развертку заданной конической поверхности.

Выполним развертку прямого кругового конуса, усеченного фронтально-проецирующей плоскостью  $\alpha$  (рис. 8.12).

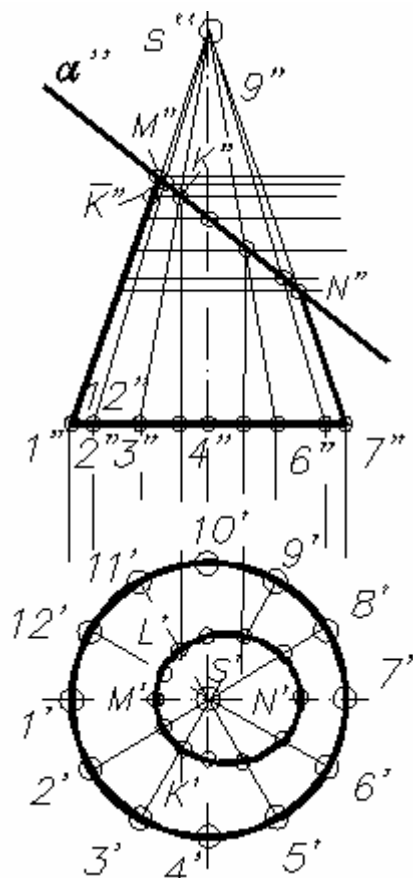


Рис. 8.12

Известно, что фигура развертки боковой поверхности полного конуса представляет собой круговой сектор; угол  $\varphi$ , составленный радиусами, ограничивающими этот сектор, определяется из выражения:

$$\varphi = 360^\circ R/l,$$

где  $R$  – радиус окружности основания конуса,  $l$  – образующая конуса. Зная  $\varphi$ , можно определить (рис. 273) длину хорды  $(1-1)$ , стягивающей дугу сектора:

$$(1-C) = 1/2 (1-1) = l * \sin \varphi/2;$$

$$(1-1) = 2l * \sin \varphi/2$$

Для построения развертки боковой поверхности полного конуса вычертим хорду  $(1-1)$  и построим на ней равнобедренный треугольник  $1-S-1$ , определив тем самым положение точки  $S$ . После этого вычертим дугу  $(1-1)$  и разделим ее на равные части  $1-2, 2-3, 3-4, \dots$  в соответствии с числом частей, на которое разделена окружность основания конуса.

Чтобы вычертить на полученной развертке очертание развернутой линии сечения  $MKNLM$ , определим на рис. 8.12 натуральную величину каждого из отрезков, отсеченных секущей плоскостью от образующих  $S-1, S-2, S-3, \dots$ , пользуясь способом вращения вокруг высоты конуса, получим  $SM = S''M''$ ,  $S''K'' = S''K''$  и т.д. Соединив плавной кривой линией точки  $M, K, N, L, M$ , получим развертку (рис. 8.13) боковой поверхности усеченного конуса.

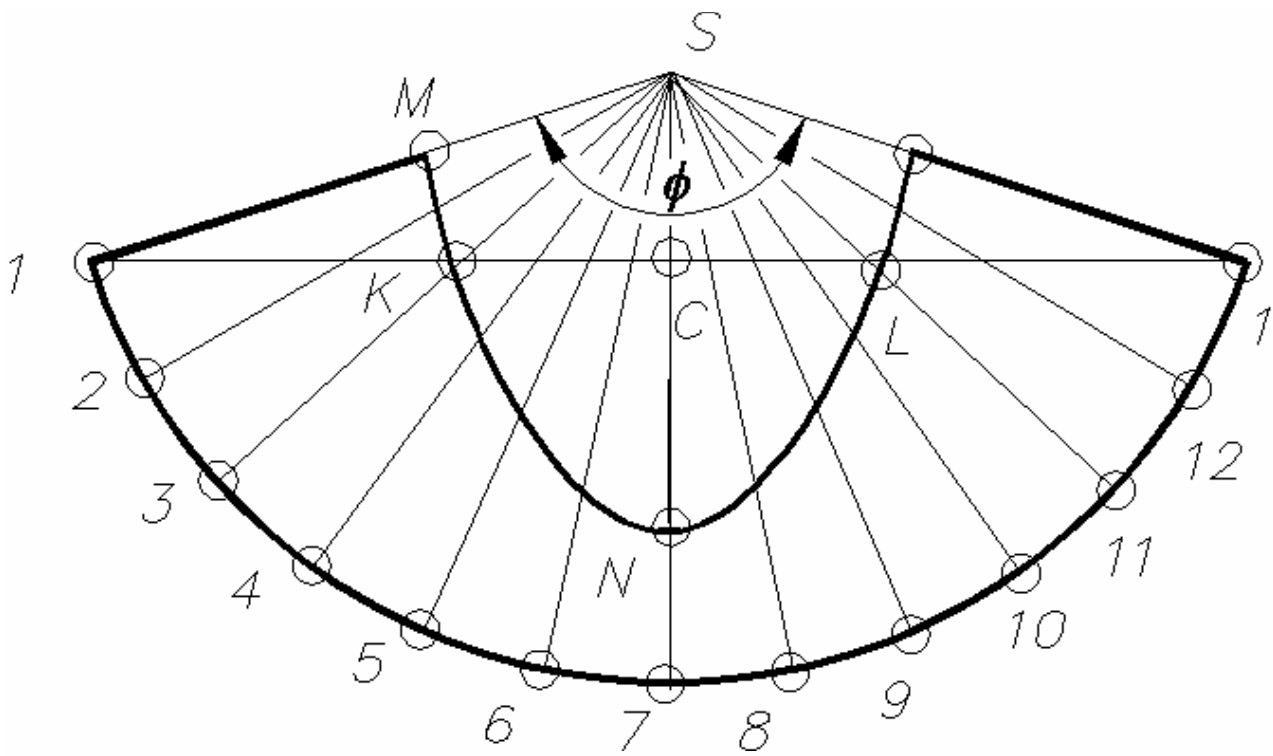


Рис. 8. 13

#### Контрольные вопросы

1. Как строится линия сечения поверхности плоскостью?
2. Какие линии могут быть получены в сечении прямого кругового цилиндра?
3. Какие линии могут быть получены в сечении прямого кругового конуса?
4. Какие линии могут быть получены в сечении сферы?
5. Каков общий принцип построения точек пересечения прямой с поверхностью?

#### Контрольные вопросы и задания

1. Какова классификация линий?
2. Как построить проекции окружности в плоскостях общего и частного положения?
3. Какие кривые линии вы знаете?
5. Каковы основные принципы образования поверхности?
6. Расскажите о классификации поверхностей.
7. Что такое определитель поверхности?
8. Как образуются линейчатые поверхности, поверхности вращения?
9. Какие поверхности вы знаете?